



LLUVIAS



CENEPRED

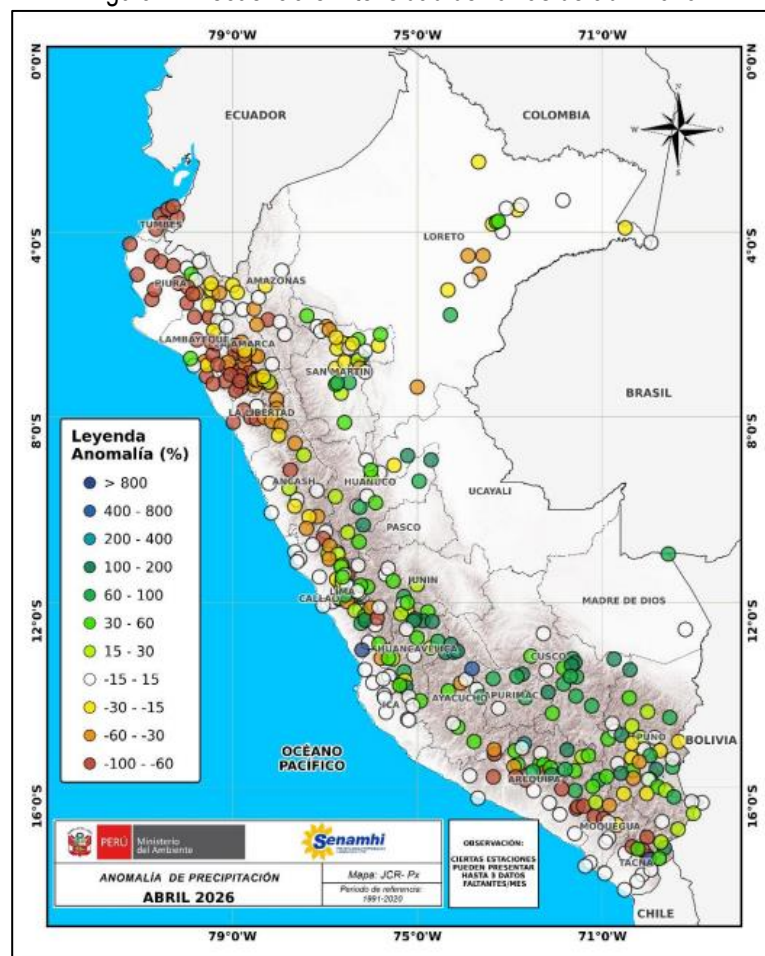
Centro Nacional de Estimación, Prevención y
Reducción del Riesgo de Desastres

**ESTUDIO DE ESCENARIO DE RIESGO
ANTE EL PRONÓSTICO DE
PRECIPITACIONES EN LA
SIERRA CENTRO Y SUR
DEL 08 AL 09 JUNIO DE 2026**

I. COMPORTAMIENTO DE LAS PRECIPITACIONES A NIVEL NACIONAL

En abril de 2026, los acumulados de precipitación, evidenciaron deficiencias importantes en la costa y sierra norte, con valores entre -100 % y -60 %. También se observaron déficits en las partes altas de Áncash, algunos sectores de Lima, San Martín, Loreto y en las cuencas medias de Arequipa, Moquegua y Tacna, con anomalías principalmente entre -60 % y -30 %. En contraste, el flanco oriental de la sierra central (Huánuco, Pasco, Junín y Huancavelica) y sectores de la sierra sur (Apurímac, Cusco y Puno), presentaron excesos de precipitación, con anomalías entre 100 % y 200 %. Cabe destacar que se registró un récord histórico de precipitación diaria en Colcabamba, Huancavelica, con 71.8 mm/día el 10 de abril, valor superior a su normal mensual de 57.4 mm. Asimismo, se reportaron récords mensuales en otras estaciones, entre las que destacan Alto de Poclus, Piura, con 59.4 mm/día; Chaglla, Huánuco, con 35.5 mm/día; y Granja San Antonio, Apurímac, con 31.6 mm/día. En marzo 2026, se presentaron superávits de lluvias en la zona andina central (Huánuco, Huancavelica, Junín y Pasco) y sur (Apurímac, Arequipa, Puno y Cusco), además de la selva norte (Loreto y San Martín) y algunas regiones como Huánuco y Piura con anomalías superiores a 100%. En contraste, se presentaron anomalías negativas de lluvias, principalmente en la franja costera (Lambayeque, Lima, Ica y Arequipa), zona andina occidental central y sur (Ancash, Arequipa, Tacna y Moquegua

Figura 1: Frecuencia e Intensidad de lluvias de abril 2026.



Fuente: SENAMHI (Abril, 2026).

II. PERSPECTIVAS

El SENAMHI informa que, del lunes 8 al martes 9 de junio, se presentarán precipitaciones (nieve, granizo, aguanieve y lluvia), de ligera a moderada intensidad, en la sierra centro y sur. Se espera la ocurrencia de granizo en zonas por encima de los 2800 m s. n. m. y nevadas en localidades sobre los 3800 m s. n. m, con acumulados de nieve próximos a los 5 cm. Estas precipitaciones estarán acompañadas de descargas eléctricas y ráfagas de viento con velocidades cercanas a los 45 km/h.

El lunes 8 de junio se esperan acumulados de precipitación entre 8 mm/día y 15 mm/día en la sierra centro y sur.

Figura 2. Pronóstico de precipitaciones en la sierra centro y sur del 08 de junio del 2026



Fuente: SENAMHI Aviso Meteorológico N°221

El martes 9 de junio se esperan acumulados de precipitación entre 8 mm/día y 15 mm/día en la sierra centro y sur.

Figura 3. Pronóstico de precipitaciones en la sierra centro y sur del 09 de junio del 2026



Fuente: SENAMHI Aviso Meteorológico N° 221

Para efectos de análisis se ha unido el ámbito de los diferentes días que implica el aviso, obteniendo un solo ámbito de exposición por los días de duración del aviso.

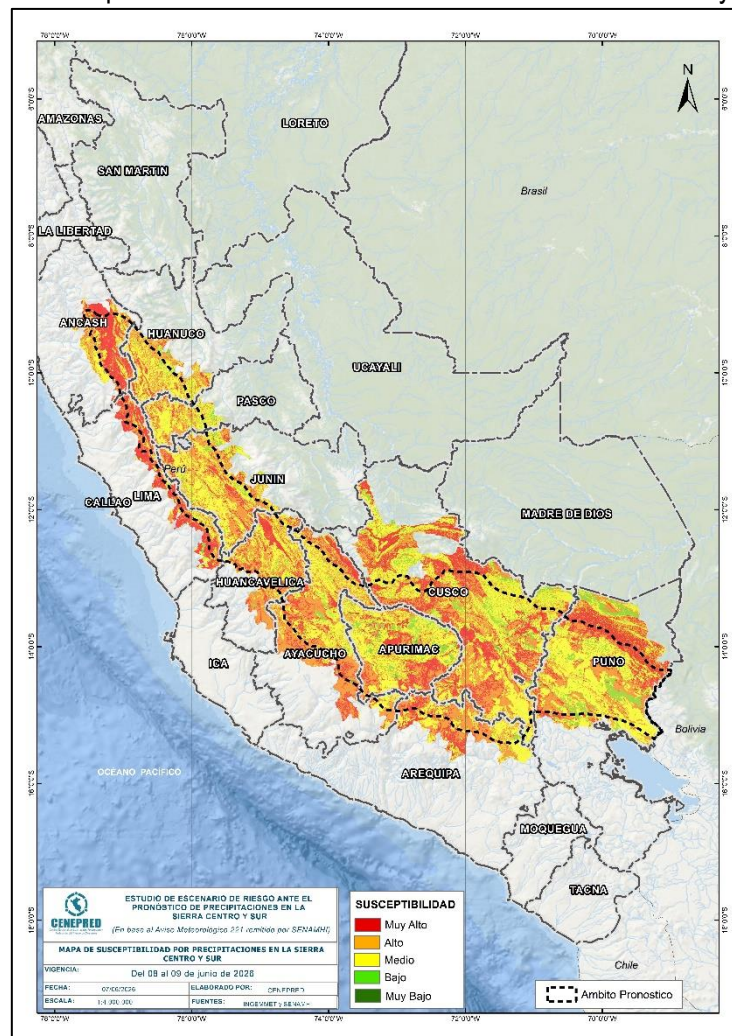
III. ESCENARIO DE RIESGO POR MOVIMIENTOS EN MASA

1 ANÁLISIS DE SUSCEPTIBILIDAD POR MOVIMIENTOS EN MASA

La probabilidad de la ocurrencia de lluvias de fuerte intensidad durante estos días, desencadenarían la posible presencia de deslizamientos, flujos de detritos (huaycos) u otro tipo de movimientos en masa, que traería consigo situaciones de riesgo. No obstante, no se descarta la presencia de estas en las zonas donde se prevé condiciones normales o de déficit de lluvias.

Para la identificación de los ámbitos con mayor propensión a estos eventos se ha tomado como base el Mapa de Susceptibilidad a Movimientos en Masa¹ (INGEMMET).

Figura 4. Susceptibilidad a movimientos en masa en la sierra centro y sur



Fuente: CENEPRED, elaborado con información del INGENMET y SENAMHI

¹ Cabe destacar que los mapas de susceptibilidad por movimientos en masa, si bien identifican áreas donde se pueden generar potencialmente tales eventos, en ellos no figura la totalidad de zonas a ser afectadas, ni predicen cuando ocurrirán los procesos analizados (Ayala-Carcedo y Olcinas 2002).

2 ANÁLISIS DE EXPOSICIÓN SOCIOECONÓMICA

En el análisis de exposición socioeconómica, se consideró como unidad mínima de análisis el ámbito distrital. Las variables utilizadas son incidencia de pobreza, tasa de analfabetismo y tasa de desnutrición crónica infantil.

El valor de exposición se obtuvo mediante el análisis con sistemas de información geográfica (SIG), con la finalidad de poder representarlo cartográficamente.

Se estimó el valor de importancia (ponderación) de cada uno de los parámetros mediante el Proceso de Análisis Jerárquico (método de Saaty). Posteriormente, se determinó para cada parámetro los respectivos descriptores, representados por sus quintiles, estimándose también para estos una ponderación mediante el mismo método.

Este procedimiento se muestra en la Tabla 1, dando como resultado el valor de exposición para cada distrito.

Tabla 1. Matriz de ponderación utilizada para la evaluación de los niveles de exposición.

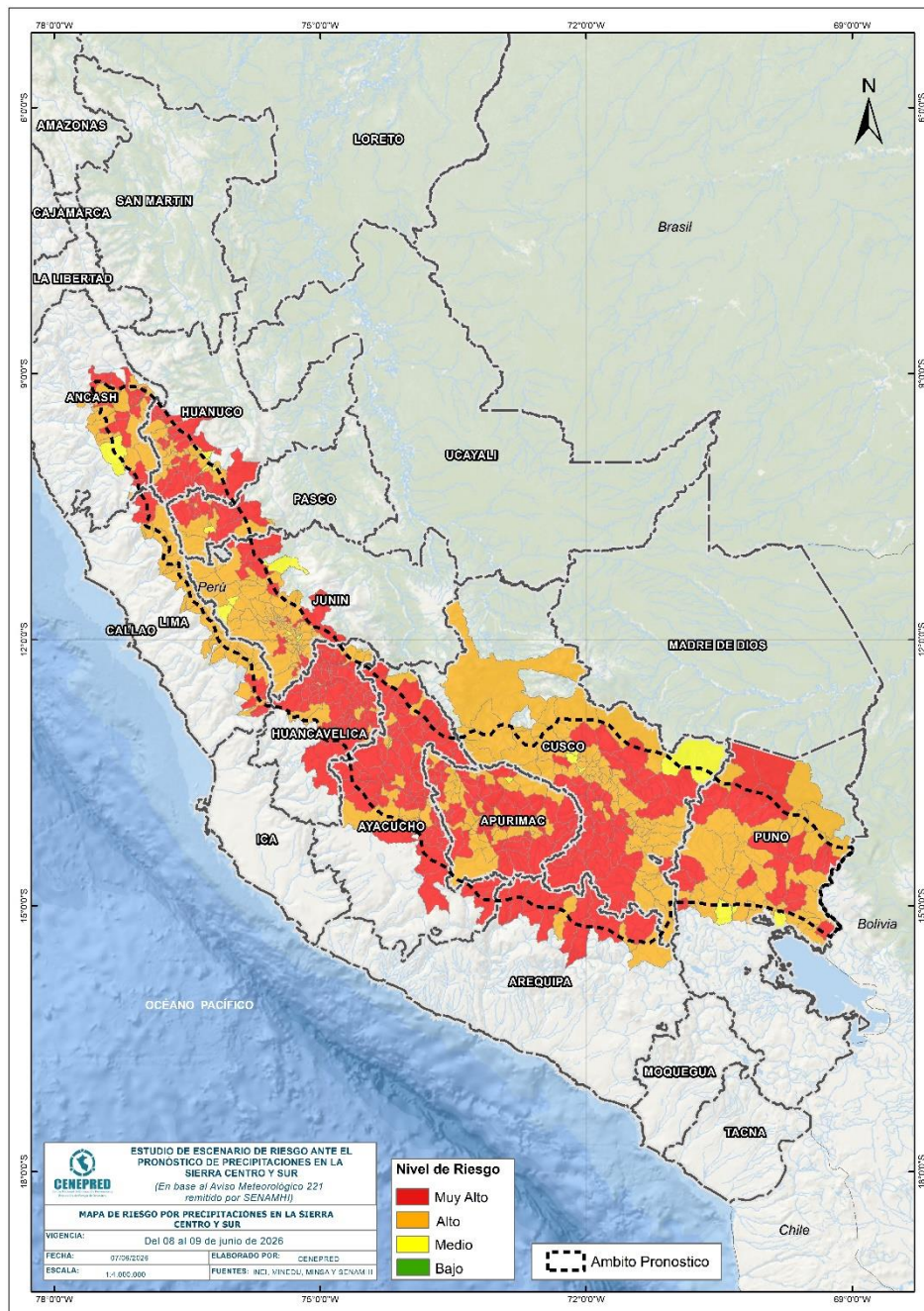
Descriptor	Parámetros de evaluación									Valor de exposición	Rango	Nivel de exposición
	Incidencia de pobreza	Valor	Peso	Tasa de Desnutrición Crónica	Valor	Peso	Tasa de Analfabetismo	Valor	Peso			
D5	Mayor a 63.8%	0.459	0.608	34.2% a 61.7%	0.416	0.272	20.8% a 45.5%	0.432	0.120	0.444	0.262 < R =< 0.444	Muy Alto
D4	50.7% a 63.7%	0.259	0.608	26.0% a 34.1%	0.262	0.272	14.1% a 20.7%	0.283	0.120	0.262	0.153 < R =< 0.262	Alto
D3	36.3% a 50.6%	0.150	0.608	19% a 25.9%	0.161	0.272	9.6% a 14.0%	0.152	0.120	0.153	0.089 < R =< 0.153	Medio
D2	21.8% a 36.2%	0.085	0.608	9.1% a 18.9%	0.099	0.272	5.4% a 9.5%	0.086	0.120	0.089	0.051 < R =< 0.089	Bajo
D1	Menor a 21.8%	0.047	0.608	Menor a 9.1%	0.062	0.272	Menor a 5.4%	0.048	0.120	0.051		

Fuente: CENEPRED, elaborado con información del INEI y el MINSA.

3. ESCENARIO PROBABLE DE RIESGO POR MOVIMIENTOS EN MASA

Una vez identificado los niveles de susceptibilidad a movimientos en masa y los niveles de exposición de la población, a nivel distrital, se procede a la conjunción de ambos factores para el cálculo de la probabilidad del riesgo (Tabla 2).

Figura 5. Escenario de riesgo por movimientos en masa según el pronóstico de precipitaciones en la sierra centro y sur



Fuente: CENEPRED

Finalmente, se presentan los resultados del escenario de riesgo por movimientos en masa en la Tabla 2.

Tabla 2. Elementos expuestos por departamentos según su nivel de riesgo.

Nivel de Riesgo		Muy Alto					Alto				
		Elementos expuestos									
DEPARTAMENTOS		Cantidad Distritos	Población	Viviendas	Establec. Salud	Instituc. Educativas	Cantidad Distritos	Población	Viviendas	Establec. Salud	Instituc. Educativas
1	ANCASH	17	54.211	16.315	44	337	20	229.048	57.825	131	616
2	APURIMAC	48	178.687	54.600	246	1.257	34	214.978	62.459	238	874
3	AREQUIPA	8	16.075	4.678	21	105	3	10.304	2.839	6	41
4	AYACUCHO	64	241.167	75.945	258	1.768	18	227.143	57.433	168	607
5	CUSCO	36	216.489	66.106	102	1.058	64	806.828	210.169	358	1.926
6	HUANCAVELICA	58	233.751	68.137	308	1.842	13	82.199	23.300	69	291
7	HUANUCO	26	127.457	36.769	109	653	20	86.145	24.687	53	425
8	JUNIN	17	52.467	16.947	76	371	81	785.684	201.615	448	1.692
9	LIMA	7	6.864	2.122	9	57	28	39.310	10.906	66	196
10	PASCO	12	66.944	16.635	93	370	8	92.896	22.643	92	255
11	PUNO	18	101.052	35.240	62	552	31	232.369	79.075	115	1.206
TOTAL GENERAL		311	1.295.164	393.494	1.328	8.370	320	2.806.904	752.951	1.744	8.129

Fuente: CENEPRED, elaborado con la información del INEI*, MINSA** y MINEDU***

*INEI: Cálculo de población y vivienda según Censos Nacionales 2017: XII de Población y VII de Vivienda

**MINSA: Base RENIPRESS, junio 2026.

***MINEDU: ESCALE, junio 2026.

IV. ESCENARIO DE RIESGO POR INUNDACIONES

1 ANÁLISIS DE SUSCEPTIBILIDAD POR INUNDACIONES

La probabilidad de la ocurrencia de lluvias de fuerte intensidad durante estos días, desencadenarían la posible presencia de inundaciones, que traería consigo situaciones de riesgo. No obstante, no se descarta la presencia de estas en las zonas donde se prevé condiciones normales o de déficit de lluvias.

Para la identificación de los ámbitos con mayor propensión a estos eventos se consolidó los mapas de susceptibilidad a inundaciones a nivel regional, elaborado por el INGEMMET, los cuales consideran como factores condicionantes: la geomorfología y la pendiente del terreno.

Los ámbitos de susceptibilidad muy alta y alta se caracterizan principalmente por presentar llanuras aluviales, planicies, altiplanos, terrazas aluviales, entre otros.

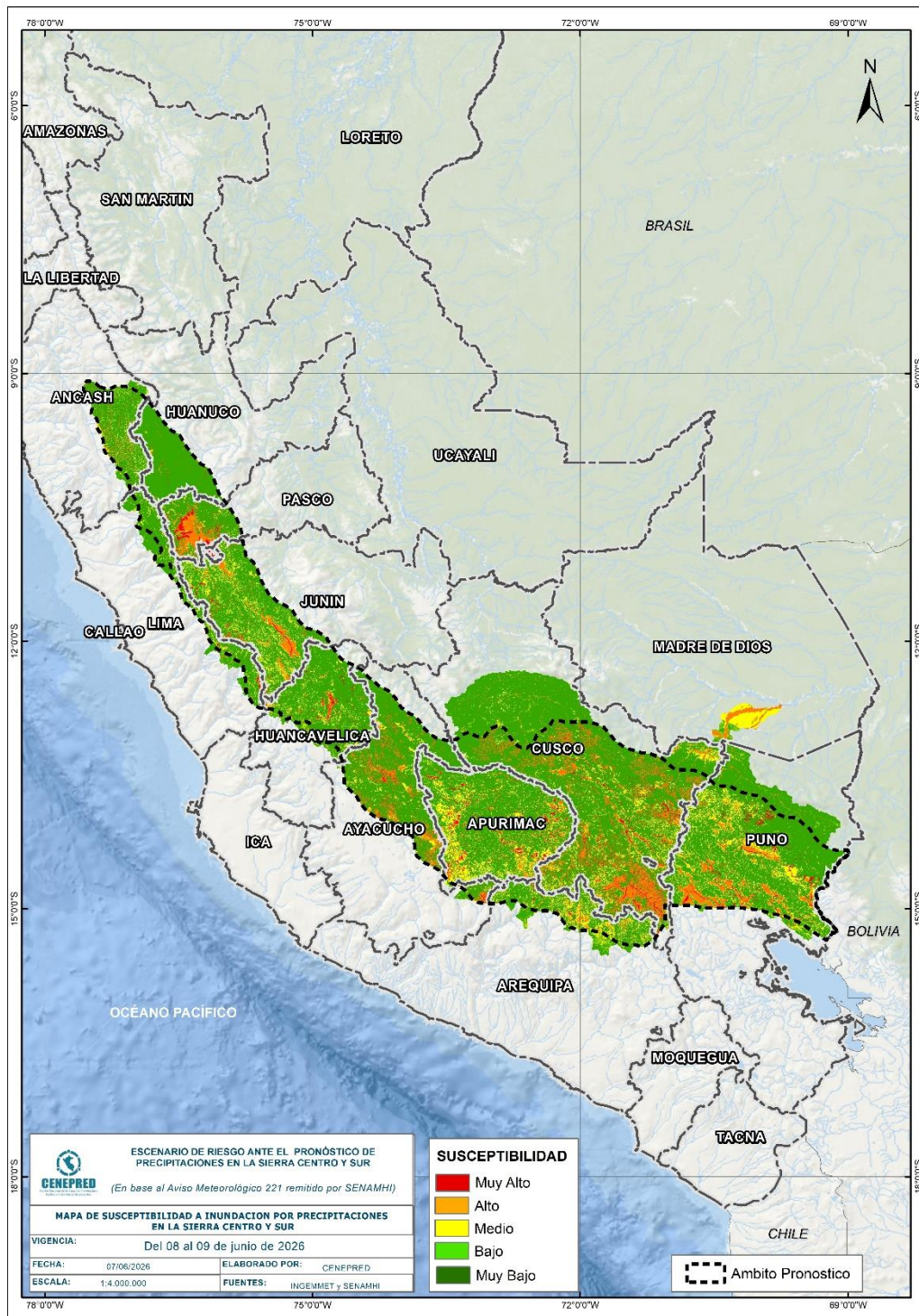
2 ESCENARIO PROBABLE DE RIESGO POR INUNDACIONES

Una vez identificado los niveles de susceptibilidad a inundación en el ámbito de las cuencas afectadas en la Figura 6 se procede a realizar el análisis de los niveles de exposición de la población, vivienda, establecimientos de salud e instituciones educativas a nivel de centros poblados.

De acuerdo al análisis de exposición y considerando el pronóstico se generó la Tabla 3, encontrándose que los departamentos con nivel de riesgo **Muy Alto** comprenden una población expuesta de 317239 habitantes; 127915 viviendas; 346 establecimiento de salud y 1263 instituciones educativas.

Los departamentos con nivel de riesgo **Alto** comprenden una población expuesta de 1782286 habitantes; 636554 viviendas; 1029 establecimientos de salud y 4295 instituciones educativas.

Figura 6. Escenario de riesgo por inundaciones en el ámbito del pronóstico de precipitaciones en la sierra centro y sur del 08 al 09 junio del 2026



Fuente: CENEPRED

Tabla 3. Elementos expuestos por departamentos según su nivel de riesgo por inundación.

Nivel de Riesgo		Muy Alto					Alto				
		Elementos expuestos									
DEPARTAMENTOS		Centros Poblados	Población	Viviendas	Establec. Salud	Instituc. Educativas	Centros Poblados	Población	Viviendas	Establec. Salud	Instituc. Educativas
1	ANCASH	22	5287	2017	3	26	118	6919	2972	2	22
2	APURIMAC	397	116389	44574	119	415	525	52249	24841	75	308
3	AREQUIPA	6	772	437	2	6	65	162	155	0	2
4	AYACUCHO	73	7065	3435	9	60	712	257134	89500	169	656
5	CUSCO	556	60975	27021	116	378	2233	512515	183625	278	1153
6	HUANCAVELICA	170	79745	30134	51	185	69	23020	8650	19	73
7	HUANUCO	9	382	151	5	10	112	19244	7848	6	77
8	JUNIN	74	33051	13467	19	61	512	694460	228198	349	1287
9	LIMA	32	36	64	0	0	8	326	251	0	6
10	MADRE DE DIOS	0	0	0	0	0	16	8856	3519	3	16
11	PASCO	86	2292	713	9	23	614	84186	32096	74	204
12	PUNO	141	11245	5902	13	99	798	123215	54899	54	491
TOTAL GENERAL		1566	317239	127915	346	1263	5782	1782286	636554	1029	4295

Fuente: CENEPRED, elaborado con la información del INEI*, MINSA** y MINEDU***

*INEI: Cálculo de población y vivienda según Censos Nacionales 2017: XII de Población y VII de Vivienda

**MINSA: Base RENIPRESS, junio 026.

***MINEDU: ESCALE, junio 2026.

San Isidro, 07 de junio de 2025

El CENEPRED actualizará esta información de acuerdo a los avisos meteorológicos remitidos por del SENAMHI. El resultado de esta información se encuentra disponible en el Sistema de Información para la Gestión del Riesgo de Desastres - SIGRID, y a través de la página web del CENEPRED <https://cenepred.gob.pe/web/escenario-riesgos/> para su descarga a fin de dar a conocer de manera detallada los parámetros utilizados.